Siehe Original/Kopie: http://web.me.com/klaus.richter/KG04/KG04L0NP.PDF /.PS
Technische Information: http://www.ps.bam.de oder http://130.149.60.45/~farbmetrik

TUB-Registrierung: 20100301-KG04/KG04L0NP.PDF /.PS TUB-Material: Code=rha4ta
Anwendung für Beurteilung und Messung von Drucker− oder Monitorsystemen

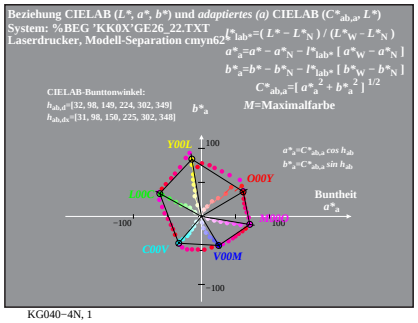

KG040−4N, 1

48-stufiger Geräte-Bunttonkreis und
3 Stufen von 16-stufigem Elementar-Bunttonkreis
mit gleichabständigen CIELAB Bunttonstufen

no.	$h_{ab,a}$	L^*	a^*_a	b^*_a	no.	$h_{ab,a}$	L^*	a^*_a	b^*_a	no.	$h_{ab,a}$	L^*	a^*_a	b^*_a	no.	$h_{ab,a}$	L^*	a^*_a	b^*_a	no.	$h_{ab,a}$	L^*	a^*_a	b^*_a	no.	$h_{ab,a}$	L^*	a^*_a	b^*_a
648	31.9	45.9	61.9	38.5	720	99.4	91.6	−13.9	83.9	72	150.5	56.8	−63.3	35.7	80	229.0	51.7	−33.7	−38.9	8	299.2	30.8	24.1	−43.1	656	349.7	45.3	70.9	−12.7
657	43.6	52.3	56.3	53.7	639	100.5	93.4	−17.4	93.2	73	158.4	56.2	−61.9	24.4	71	232.5	50.9	−31.9	−41.6	89	307.7	30.6	31.4	−40.5	655	352.3	44.9	70.9	−9.4
666	55.7	59.8	41.3	60.7	558	104.9	88.3	−23.0	86.0	74	166.4	56.4	−57.7	13.9	62	238.1	50.8	−28.2	−45.5	170	317.6	30.5	39.8	−36.3	654	358.6	44.6	69.4	−1.6
675	65.5	65.7	30.1	66.2	477	113.4	80.2	−31.4	72.3	75	175.1	56.7	−54.2	4.5	53	246.5	48.0	−21.0	−48.4	251	325.1	32.0	45.9	−32.0	653	5.2	44.9	66.5	6.1
684	74.8	71.5	19.3	71.2	396	121.7	73.5	−38.8	62.9	76	184.1	57.4	−49.3	−3.5	44	254.0	43.9	−13.8	−48.4	332	329.5	34.4	49.9	−29.3	652	11.0	44.4	64.3	12.5
693	80.9	75.7	11.9	75.2	315	128.3	68.9	−44.4	56.0	77	195.4	57.2	−44.8	−12.4	35	263.8	38.9	−5.2	−48.6	413	334.9	37.2	54.6	−25.5	651	16.8	44.4	62.9	19.0
702	89.4	82.4	0.7	78.0	234	137.8	63.8	−52.3	47.4	78	203.9	56.6	−41.9	−18.6	26	275.0	33.8	4.3	−48.7	494	340.1	39.1	60.2	−21.6	650	22.6	44.9	62.1	25.9
711	94.5	86.6	−5.7	72.7	153	145.0	60.0	−58.1	40.6	79	214.5	55.0	−38.8	−26.7	17	288.3	33.4	15.0	−45.4	575	344.6	41.5	64.9	−17.8	649	28.2	45.4	61.9	33.3

RJGB*ton**, 25.4, 92.3, 162.2, 271.7 ***RJGB*all:** 25.4 42.1 58.8 75.6 92.3 109.7 127.2 144.7 162.2 189.6 216.9 244.3 271.7 300.1 328.6 357.0 ***LAB*Nio: 13.0, 0.3, 1.1 ***LAB*Wio:*** 97.1, −0.9, 1.8

25.4 42.1 58.8 75.6 92.3 109.7 127.2 144.7 162.2 189.6 216.9 244.3 271.7 300.1 328.6 357.0
46 0 2 4 6 10 12 14 17 20 23 26 29 32 35 41
16.8 22.6 28.2 31.9 43.6 55.7 65.5 74.8 80.9 89.4 100.5 104.9 113.4 121.7 128.3 137.8 150.5 158.4 175.1 184.1 203.9 214.5 232.5 238.1 254.0 263.8 288.3 299.2 317.6 325.1 349.7 352.3
28.2 31.9 43.6 55.7 65.5 74.8 80.9 89.4 94.5 99.4 113.4 121.7 128.3 137.8 145.0 150.5 166.4 175.1 195.4 203.9 229.0 232.5 246.5 254.0 275.0 288.3 307.7 317.6 329.5 334.9 358.6 5.2
0.502 0.879 0.321 0.125 0.562 0.565 0.831 0.958 0.474 0.483 0.165 0.741 0.702 0.108 0.779 0.74
651 650 649 648 657 666 675 684 693 702 639 558 477 396 315 234 72 73 75 76 78 79 71 62 44 35 17 8 170 251 656 655
649 648 657 666 675 684 693 702 711 720 477 396 315 234 153 72 74 75 77 78 80 71 53 44 26 17 89 170 332 413 654 653
507 506 505 504 531 558 585 612 639 666 477 234 711 468 225 702 216 217 219 220 222 223 197 170 116 89 35 8 494 17 512 511
505 504 531 558 585 612 639 666 693 720 711 468 225 702 459 216 218 219 221 222 224 197 143 116 62 35 251 494 260 503 510 509

no./Code	*R (380nm − 725nm)*																			*X*	*Y*	*Z*	*L**	*a**	*b**	L^*_a	a^*_a	b^*_a	$C^*_{ab,a}$	$h_{ab,a}$
506	730	655	612	585	562	568	583	573	562	589	660	703	677	584	444	346	329	348												
	331	329	590	1756	3718	5439	6487	7019	7273	7391	7445	7456	7462	7461	7471	7483	7479	7482		26.0	14.5	6.3	44.9	61.9	27.3	44.9	62.1	25.9	87.8	22.6
505	563	494	441	411	392	392	403	408	418	473	586	677	679	595	458	359	343	362												
	346	342	604	1782	3792	5581	6688	7255	7525	7653	7711	7724	7729	7731	7741	7754	7749	7756		26.4	14.8	4.9	45.4	61.7	34.7	45.4	61.9	33.3	87.5	28.2
r00j=R	644	573	524	495	473	476	490	488	488	530	623	690	678	589	451	352	335	354												
	338	335	597	1769	3754	5505	6580	7128	7389	7512	7567	7579	7585	7586	7596	7608	7603	7609		26.2	14.6	5.6	45.1	61.8	30.9	45.1	61.9	29.5	68.6	25.4
504	473	394	344	311	297	294	301	309	333	403	544	670	692	614	475	373	356	376												
	358	353	623	1830	3883	5723	6871	7464	7748	7880	7940	7954	7959	7957	7966	7982	7978	7980		27.0	15.2	4.0	45.9	61.7	39.9	45.9	61.9	38.5	87.5	31.9
531	324	239	206	181	172	164	170	179	214	308	559	899	1093	1069	902	757	732	765												
	736	721	1105	2596	4862	6793	7973	8579	8869	9006	9069	9076	9078	9075	9083	9095	9086	9087		32.8	20.4	3.3	52.3	56.0	55.1	52.3	56.3	53.7	79.7	43.6
r25j	336	251	217	191	182	174	180	189	223	314	551	862	1031	997	831	691	667	698												
	670	656	1027	2489	4740	6671	7856	8466	8758	8895	8958	8966	8969	8966	8974	8986	8978	8979		32.0	19.7	3.3	51.5	57.1	53.5	51.5	57.4	52.1	77.5	42.2
558	339	269	230	203	183	181	187	201	240	362	725	1315	1773	1901	1775	1622	1600	1641												
	1603	1586	2027	3560	5658	7309	8260	8729	8953	9057	9105	9109	9110	9103	9107	9119	9109	9112		37.8	27.9	4.3	59.8	40.9	62.2	59.8	41.3	60.7	58.4	55.7
585	378	293	240	215	194	190	198	216	262	416	890	1706	2403	2676	2608	2465	2448	2497												
	2453	2434	2903	4412	6312	7705	8467	8825	8997	9081	9120	9118	9115	9107	9112	9124	9114	9115		42.4	35.0	5.3	65.7	29.5	67.7	65.7	30.1	66.2	42.5	65.5
r50j	350	276	232	206	185	183	190	205	246	378	775	1437	1969	2140	2028	1876	1855	1898												
	1858	1840	2294	3830	5872	7442	8330	8762	8968	9065	9110	9112	9112	9104	9108	9120	9110	9113		39.3	30.1	4.6	61.7	37.2	64.0	61.7	37.6	62.4	72.9	58.9

KG040−7N: Messung: %BEG 'KK0X'GE26_22.TXTLaserdrucker, Modell-Separation cmyn62*

TUB-Prüfvorlage KG04; Laserdrucker, Benutzung Gitter G
16-stufiger Elementar-Bunttonkreis und 3 Reflexionen *R*

Eingabe: *w setgray*
Ausgabe: keine Eingabeänderung